

# Dokumentacja wstępna - Algorytmy Zaawansowane

Szymon Kuś, Piotr Skibiński

2 października 2025

## Spis treści

<b>1</b>	<b>Przedstawienie problemu</b>	<b>3</b>
<b>2</b>	<b>Opis rozwiązania problemu</b>	<b>3</b>
2.1	Znajdowanie skojarzenia doskonałego w grafie ważonym . . . . .	4
2.1.1	Pseudokod . . . . .	6
2.2	Znajdowanie skojarzenia doskonałego w grafie bez wag . . . . .	6
2.2.1	Pseudokod . . . . .	7
<b>3</b>	<b>Analiza poprawności</b>	<b>7</b>
3.1	Własność stopu . . . . .	8
3.2	Własność częściowej poprawności . . . . .	9
3.2.1	Dowód, że $M$ jest skojarzeniem o największej wadze . . .	9
3.2.2	Dowód dla Algorytmu 2 . . . . .	10
<b>4</b>	<b>Analiza złożoności czasowej</b>	<b>10</b>
<b>5</b>	<b>Opis wejścia i wyjścia</b>	<b>11</b>
5.1	Format pliku wejściowego . . . . .	11
5.2	Format pliku wyjściowego . . . . .	12

# 1 Przedstawienie problemu

Problem rozważany w poniższej pracy dotyczy znalezienia skojarzenia doskonałego w nieskierowanym grafie dwudzielnym o najmniejszym koszcie.

Algorytm przyjmuje tylko grafy dwudzielne, tzn. postaci:

$$G(L, P, E, w) \quad (1)$$

gdzie:

$$L = \{l_1, l_2, \dots, l_n\}, P = \{p_1, p_2, \dots, p_n\}, E \subseteq L \times P, w : E \rightarrow \mathbb{R} \quad (2)$$

$L$  i  $P$  to rozłączne zbiory wierzchołków,  $E$  to zbiór krawędzi, gdzie każda krawędź łączy wierzchołek z  $L$  z wierzchołkiem z  $P$ ,  $w$  jest funkcją wagi.

# 2 Opis rozwiązania problemu

Będziemy posługiwać się następującymi oznaczeniami:

- $M$  – skojarzenie, zbiór krawędzi.
- nasycona krawędź – krawędź, która należy do skojarzenia.
- nienasycona krawędź – krawędź, która nie należy do skojarzenia.
- nasycony wierzchołek – wierzchołek, który jest częścią dowolnej nasyconej krawędzi.
- nienasycony wierzchołek – wierzchołek, który nie jest częścią żadnej z nasyconych krawędzi.
- $M(L)$  – zbiór nasyconych wierzchołków z  $L$ .
- $M(P)$  – zbiór nasyconych wierzchołków z  $P$ .
- $N(a)$  – zbiór sąsiadów wierzchołka  $a$ .
- $N(A)$  – zbiór sąsiadów wierzchołków należących do  $A$ .
- $S$  – pewien podzbiór  $L$ .
- $T$  – pewien podzbiór  $P$ .
- $w(l, p)$  – waga krawędzi z  $l$  do  $p$ .
- $D$  – drzewo  $M$ -przemienne budowane w trakcie algorytmu.
- ścieżka powiększająca /  $M$ -zasilona – ścieżka zwiększająca skojarzenie  $M$ .
- skojarzenie nasycające zbór wierzchołków  $L$  - takie skojarzenie  $M$ , że  $|M(L)| = |L|$ .

Ważną częścią naszego algorytmu jest twierdzenie Halla, które mówi:

Graf dwudzielny  $(L, P)$  ma skojarzenie nasycające zbiór  $L \Leftrightarrow \forall_{S \subseteq L} |S| \leq |N(S)|$  (3)

W przypadku grafu dwudzielnego o równej liczbie wierzchołków w  $L$  i  $P$  spełnienie warunku Halla dla zbioru  $L$  jest równoważne ze znalezieniem skojarzenia doskonałego.

## 2.1 Znajdowanie skojarzenia doskonałego w grafie ważonym

Implementowany algorytm znajduje skojarzenie o największej wadze, dlatego w grafie wejściowym  $G$  ustawiamy wagi na przeciwne. W ten sposób skojarzenie o największej wadze w nowym grafie będzie skojarzeniem o najmniejszej wadze w oryginalnym grafie. Podobnie na wyjściu waga najlepszego skojarzenia będzie miała ponownie zmieniony znak.

$$G = (L, P, E, w) \quad (4)$$

$$G_{\text{przeciwny}} = (L, P, E, -w) \quad (5)$$

Następnie iteracyjnie szukamy skojarzenia w podgrafach  $G_I$  grafu  $G_{\text{przeciwny}}$ . Do stworzenia podgrafu niezbędne jest zdefiniowanie **funkcji potencjału**, która jako argument przyjmuje wierzchołek, a zwraca liczbę rzeczywistą:

$$I : (L \cup P) \rightarrow \mathbb{R} \quad (6)$$

takiej, że:

$$\forall_{lp \in E(G_{\text{przeciwny}})} I(l) + I(p) \geq w(l, p) \quad (7)$$

Graf  $G_I$  tworzymy poprzez:

$$G_I = (L, P, E_I) \quad (8)$$

$$E_I = \{lp \in E(G_{\text{przeciwny}}) : I(l) + I(p) = w(l, p)\} \quad (9)$$

W kolejnych iteracjach szukamy skojarzeń  $M^i$  ( $M^0 = \{\}$ ) w grafach  $G_I^i$  które tworzymy poprzez manipulacje potencjałami. Skojarzenie  $M^{i+1}$  tworzymy poprzez powiększanie skojarzenia  $M^i$  o krawędzie z grafu  $G_I^{i+1}$ :

$$(M^{i+1}, S, T) = \text{Algorytm2}(G_I^{i+1}, M^i) \quad (10)$$

Możemy wykorzystać poprzednie skojarzenie, bo zaproponowana przez nas modyfikacja krawędzi zapewnia, że  $M^i \subset E_I^i$ . Dane skojarzenie powiększamy do momentu znalezienia skojarzenia doskonałego lub znalezienia zbiorów  $S$  i  $T$ , które nie spełniają warunku Halla (3), to znaczy takich, że:

$$|S| > |T|, \text{ gdzie } T = N(S) \quad (11)$$

Algorytm można opisać krokami:

0. Jeśli graf nie posiada skojarzenia doskonałego, zakończ algorytm (sprawdzenie Algorytmem 2)
1. Zamień wagi w grafie na przeciwne i przydziel początkowe wartości potencjałom.
  - $I(l) = \max(w(l, p), p \in P)$  dla  $l \in L$
  - $I(p) = 0$  dla  $p \in P$
2. Ustaw początkową wartość skojarzenia  $M = \{\}$ .
3. Zbuduj graf  $G_I$  i znajdź skojarzenie, korzystając z Algorytmu 2, rozpoczynając od  $M$ . Algorytm 2 zwraca również zbiory  $S$  i  $T$ .
4. Jeśli  $|M| = |L|$  zakończ algorytm i zwróć skojarzenie.
5. Modyfikujemy potencjały:
  - 5.1.
    - $q = \min\{I(l) + I(p) - w(l, p) : l \in S, p \in P - T\}$
    - $I(l) = I(l) - q$  dla  $l \in S$
    - $I(p) = I(p) + q$  dla  $p \in T$
  - 5.2. Wróć do kroku 3.

### 2.1.1 Pseudokod

---

**Algorytm 1** Znajdowanie skojarzenia doskonałego w grafie ważonym

---

```
1: Utwórz graf  $G_{bez\_wag}$ 
2: jeśli nie istnieje skojarzenie doskonałe w grafie  $G_{bez\_wag}$  wtedy
3:   Zakończ algorytm
4: koniec jeśli
5: Zamień wagi w grafie  $G$  na przeciwne
6: // Początkowe wartości
7: dla  $l \in L$  wykonuj
8:    $I(l) = \max(w(l, p), p \in P)$ 
9: koniec pętli
10: dla  $p \in P$  wykonuj
11:    $I(p) = 0$ 
12: koniec pętli
13:  $M = \{\}$ 
14: dopóki  $|M| < |L|$  wykonuj
15:   Skonstruuj graf  $G_I = (L, P, E_I)$ 
16:   // Powiększ skojarzenie  $M$  w grafie  $G_I$  i pobierz wartości  $S$  i  $T$ 
17:    $(M, S, T) = Algorytm2(G_I, M)$ 
18:   jeśli  $|M| == |L|$  wtedy
19:     Zakończ program, zwróć  $M$  oraz zwróć  $-w(M)$ 
20:   w przeciwnym wypadku
21:     // Modyfikujemy potencjały
22:      $q = \min\{I(l) + I(p) - w(l, p) : l \in S, p \in P - T\}$ 
23:     dla  $l \in S$  wykonuj
24:        $I(l) = I(l) - q$ 
25:     koniec pętli
26:     dla  $p \in T$  wykonuj
27:        $I(p) = I(p) + q$ 
28:     koniec pętli
29:   koniec jeśli
30: koniec dopóki
```

---

## 2.2 Znajdowanie skojarzenia doskonałego w grafie bez wag

Algorytm polega na iteracyjnym znajdowaniu ścieżki między dwoma dowolnymi wierzchołkami nienasyconymi takiej, że krawędzie na niej na zmianę nie należą i należą do skojarzenia. Po znalezieniu takiej ścieżki dodajemy do skojarzenia  $M$  znajdujące się na niej nienasycone krawędzie i usuwamy krawędzie nasycone, które znajdują się na ścieżce.

Algorytm kończy się po znalezieniu skojarzenia doskonałego lub po znalezieniu zbiorów  $S \subseteq L$  i  $T \subseteq P$ , które nie spełniają warunku Halla (3).

### 2.2.1 Pseudokod

---

**Algorytm 2** Znajdowanie skojarzenia doskonałego w grafie bez wag

---

```
1: jeśli  $M$  niezdefiniowane wtedy
2:    $M = \{\}$ 
3: koniec jeśli
4: // powieksz zwraca prawdę, jeśli powiększono
5: // procedura opisana w Algorytmie 3
6: dopóki powieksz( $M$ ) wykonuj
7:   jeśli  $|M| == |L|$  wtedy
8:     Zwróć znalezione skojarzenie  $M$ 
9:   w przeciwnym wypadku
10:    Nie istnieje doskonałe skojarzenie, zwróć znalezione  $M$  oraz zmienne
    funkcji powieksz  $S, T$ 
11:  koniec jeśli
12: koniec dopóki
```

---

---

**Algorytm 3** Znajdowanie ścieżki powiększającej

---

```
1:  $S = \{\}$ 
2:  $T = \{\}$ 
3: Weź dowolny wierzchołek  $l_{start} \in L - M(L)$  i dodaj go do  $S$  jako nieodwiedzony
4: dopóki  $S$  zawiera nieodwiedzone wierzchołki wykonuj
5:   Wybierz pierwszy nieodwiedzony wierzchołek  $l$  z  $S$  i oznacz jako odwiedzony
6:   dla dla każdego  $p \in N(l) - T$  wykonuj
7:     Dopisz  $p$  do  $T$ 
8:     Dodaj  $p$  do drzewa  $D$  jako dziecko  $l$ 
9:     jeśli  $p$  nie jest wierzchołkiem nasyconym wtedy
10:      Powiększ skojarzenie  $M$  o ścieżkę z  $l_{start}$  do  $p$  w drzewie  $D$ .
11:      Program zakończył się sukcesem, zwróć true
12:     w przeciwnym wypadku
13:       znajdź takie  $l$ , że  $lp \in M$ 
14:       Dopisz  $l$  do  $S$  i oznacz jako nieodwiedzony
15:     koniec jeśli
16:   koniec pętli
17: koniec dopóki
18: Graf nie posiada ścieżki powiększającej, zwróć false
```

---

## 3 Analiza poprawności

Skupmy się najpierw na Algorytmie 1. Kroki 2–4 stanowią główną pętlę programu. Przyjrzyjmy się bardziej szczegółowo krokowi 4.1. Modyfikuje on wagi

w taki sposób, że funkcja  $I$  pozostaje potencjałem, tzn. własność (7) pozostaje prawdziwa. Są następujące przypadki:

1.  $l \in S, p \in P - T$

Z definicji  $T = N_{G_I}(S)$ , więc  $lp \notin G_I$ . Po zmianie potencjałów otrzymamy  $I(l) \leftarrow I(l) - q$  i  $I(p) \leftarrow I(p)$ .  $q$  jest tak zdefiniowane, że nierówność (7) jest nadal spełniona. Dla przypomnienia:

$$q = \min\{I(l) + I(p) - w(l, p) : l \in S, p \in P - T\}$$

z czego dalej wynika:

$$\forall l \in S, p \in P - T \quad q \leq I(l) + I(p) - w(l, p)$$

po odjęciu  $q$  otrzymamy:

$$\forall l \in S, p \in P - T \quad I(l) - q + I(p) - w(l, p) \geq 0$$

Ponadto, istnieje co najmniej jedno takie  $lp$ , które pojawi się jako nowa krawędź w  $G_I$ .

2.  $l \in S, p \in T$

Po zmianie potencjałów otrzymamy  $I(l) \leftarrow I(l) - q$  i  $I(p) \leftarrow I(p) + q$ .  $I(l) + I(p)$  się nie zmienia, więc krawędzie, które były w  $G_I$  i spełniały te warunki, pozostaną w  $G_I$ .

3.  $l \in L - S, p \in P - T$

Analogicznie jak wyżej, suma potencjałów się nie zmienia, więc przynależność krawędzi do  $G_I$  pozostanie taka sama.

4.  $l \in L - S, p \in T$

W tym przypadku  $I(l) + I(p)$  zwiększy się o  $q$ . Wszystkie takie krawędzie zatem zostaną usunięte z  $G_I$ . Nie wpłynie to jednak na budowę drzewa  $M$ -przemennego, gdyż drzewo to zawiera tylko krawędzie między  $S$  a  $T$ .

Warto zauważyć, że każda krawędź, która jest w  $M$ , pasuje do przypadku 2 lub 3. Dla każdego  $lp \in M$ , albo  $p$  zostało napotkane przez drzewo, wtedy  $p \in T$ , a więc  $l \in S$ , co wynika ze sposobu konstrukcji drzewa  $M$ -przemennego (linia 14 Algorytmu 3); albo  $p \in P - T$ , wtedy analogicznym rozumowaniem  $l \notin S$ , bo gdyby  $l \in S$ , to wtedy  $p$  zostałby dołączony do zbioru  $T$  (również linia 14 Algorytmu 3). Patrząc na te przypadki, można stwierdzić, że nigdy nie usuniemy krawędzi z  $M$ .

Do stwierdzenia całkowitej poprawności algorytmu, wystarczy pokazać, że ma on własność stopu i własność częściowej poprawności.

### 3.1 Własność stopu

Jeżeli nie istnieje żadne skojarzenie doskonałe w grafie  $G$ , algorytm kończy się w kroku 0.

W przeciwnym wypadku, zauważmy, że każda iteracja głównej pętli algorytmu (kroki 3-5) wpływa na graf w następujący sposób:



1. Nie jest usunięta krawędź z  $M$ . Zatem  $|M^{i+1}| \geq |M^i|$ , gdzie  $M^i$  oznacza skojarzenie  $M$  po  $i$ -tym powtórzeniu kroku 2.
2. Albo zwiększy się rozmiar  $M$ , albo zwiększy się rozmiar  $T$ .

Zbiór  $T$  może mieć ograniczoną liczbę elementów, zatem w pewnym momencie, przy odpowiednio dużej liczbie elementów  $T$ , znajdziemy choć jedną ścieżkę  $M$ -zasiloną i zwiększy się rozmiar  $M$ . Algorytm zakończy się, gdy  $|M| = |L|$ , co wydarzy się w skończonej liczbie kroków.

Żeby zobaczyć, że w przypadku niepowiększenia  $M$  zwiększy się rozmiar  $T$ , zwróćmy uwagę na następujący fakt. W zbiorze  $S$  znajdują się te same (wszystkie) nienasycone wierzchołki z  $L$ , jako że  $M$  się nie zmieniło. Na podstawie procesu tworzenia drzewa (linia 14 Algorytmu 3) można stwierdzić, że zostaną odwiedzone wszystkie wierzchołki z poprzednich zbiorów  $S$  i  $T$ , bo żadna krawędź między  $S$  a  $T$  nie została usunięta. Innymi słowy, jeśli  $S_i$  oraz  $T_i$  to zbiory na koniec aktualnej,  $i$ -tej iteracji, wtedy  $S_{i-1} \subset S_i$  oraz  $T_{i-1} \subset T_i$ . Zbiór  $T = N_{G_I}(S)$  wszystkich sąsiadów wierzchołków  $S$  w grafie  $G_I$  w najgorszym przypadku zwiększy się o 1, gdyż modyfikacja potencjałów o  $q$  wprowadzi co najmniej jedną nową krawędź z  $S$  do poprzedniego  $P - T$ , a jednocześnie nie usunie żadnych krawędzi między  $S$  a poprzednim  $T$ . Wynika z tego, że  $T_i$  w każdym takim kroku, gdzie  $M$  się nie zmienia, będzie większe od  $T_{i-1}$ .

## 3.2 Własność częściowej poprawności

Wykazaliśmy we wstępie do tej sekcji, że funkcja  $I$  przez cały czas trwania algorytmu pozostaje potencjałem. Algorytm dobiega do końca, gdy  $|M| = |L|$ , lub gdy nie istnieje skojarzenie doskonałe dla grafu. Pozostało więc pokazać, że znalezione na końcu skojarzenie  $M$  jest skojarzeniem o największej możliwej wadze (w naszej implementacji zmieniamy znaki wag, by efektywnie rozwiązać problem minimalizacji) oraz, że Algorytm 2, wywoływany w kroku 2, znajdzie skojarzenie doskonałe dla grafu  $G_I$ , jeżeli takie istnieje.

### 3.2.1 Dowód, że $M$ jest skojarzeniem o największej wadze

Oznaczmy jako  $M^*$  skojarzenie doskonałe o największej wadze, podczas gdy  $M$  jest znalezionym przez nas skojarzeniem doskonałym dla grafu  $G_I$  w ostatniej iteracji algorytmu, czyli  $|M| = |L|$ . Natomiast  $w$  to funkcja zwracająca łączną wagę. Wtedy:

$$w(M) = \sum_{lp \in M} w(l, p) = \sum_{lp \in M} (I(l) + I(p)) = \sum_{l \in L} I(l) + \sum_{p \in P} I(p)$$

oraz:

$$w(M^*) = \sum_{lp \in M^*} w(l, p) \leq \sum_{lp \in M^*} (I(l) + I(p)) = \sum_{l \in L} I(l) + \sum_{p \in P} I(p)$$

co daje nam:

$$w(M^*) \leq w(M)$$

a jednocześnie wiemy, że  $w(M^*) \geq w(M)$ , bo  $M^*$  jest skojarzeniem o największej wadze. Otrzymujemy  $w(M^*) = w(M)$ .

### 3.2.2 Dowód dla Algorytmu 2

Każde przejście zewnętrznej pętli albo powoduje zwiększenie  $M$ , albo stwierdza, że skojarzenie doskonałe nie jest możliwe. Pętla wewnętrzna dodaje stopniowo elementy do  $S$  i  $T$  w miarę powiększania drzewa  $M$ -przemiennego. Zaczynamy od jednego elementu w  $S$ , a następnie dla każdego dodanego nowego elementu do  $T$ , dodajemy też jego sąsiada w  $M$  do  $S$ . Cały czas utrzymujemy  $|S| > |T|$ , dopóki nie znajdziemy ścieżki  $M$ -zasilonej. Zawsze zatem, gdy stwierdzamy, że skojarzenie doskonałe nie istnieje, otrzymujemy  $T = N_{G_I}(S)$  oraz  $|S| > |T|$ . Toteż mamy taki podzbiór  $S \subset L$  dla którego  $|S| > |N_{G_I}(S)|$ . Z twierdzenia Halla[1] dzieje się tak wtedy i tylko wtedy, gdy nie istnieje skojarzenie doskonałe w grafie  $G_I$ .

## 4 Analiza złożoności czasowej

Przeanalizujemy złożoność czasową każdego z kroków algorytmu z osobna.

0. Ten krok ma złożoność taką samą, jak krok 2, bo wywoływany jest ten sam algorytm. Przygotowanie grafu  $G_{bez\_wag}$  zajmie  $\mathcal{O}(n^2)$  operacji. Algorytm 2 również zajmie  $\mathcal{O}(n^2)$  operacji. Razem daje to nam złożoność  $\mathcal{O}(n^2)$ .
1. W kroku pierwszym wykonywane jest  $\mathcal{O}(n^2)$  operacji (liczba wierzchołków w  $L$  razy złożoność czasowa znalezienia maksimum równa  $\mathcal{O}(n)$ ).
2. W drugim kroku znajdujemy skojarzenie dla wybranego grafu  $G_I$ . W najgorszym przypadku zajmie to  $\mathcal{O}(n^2)$  operacji. Sama budowa grafu  $G_I$  również zajmuje  $\mathcal{O}(n^2)$  operacji (przyjmując, że za każdym razem budujemy od początku).
3. Trzeci krok jest rzędu  $\mathcal{O}(n)$ .
4. Czwarty krok zajmie  $\mathcal{O}(n^2)$  operacji, żeby znaleźć minimalną krawędź i  $\mathcal{O}(n)$ , żeby zmodyfikować potencjały. Razem  $\mathcal{O}(n^2)$ .

Należy pamiętać, że krok 1 wykonywany jest jednokrotnie, a kroki 2–4 mogą się powtarzać. W najgorszym przypadku powtórzą się  $\mathcal{O}(n^2)$  razy. W najgorszym przypadku, każde zwiększenie rozmiaru  $M$  o jeden zajmie  $\mathcal{O}(n)$  operacji. Będzie tak, ponieważ po zwiększeniu  $M$  zmienia się kształt drzewa  $M$ -przemiennego i następne  $T = \{\}$ . Każde kolejne wywołanie 4.1 zmieni  $G_I$  w taki sposób, że  $S$  będzie miał jednego nowego sąsiada, więc  $|T_{i+1}| = |T_i| + 1$ .  $T$  może urosnąć maksymalnie do rozmiaru  $n$ , zanim zostanie znaleziona ścieżka  $M$ -zasilona i zwiększy się rozmiar  $M$ . Podobnie w najgorszym przypadku  $n$  razy będzie trzeba zwiększać  $M$ . Razem daje nam to  $\mathcal{O}(n^2)$  powtórzeń sekwencji 2–4.

Daje to nam łączną złożoność:

$$\mathcal{O}(n^2 + n^2 + n^2 \cdot (n^2 + 1 + n^2)) = \mathcal{O}(n^4)$$

## 5 Opis wejścia i wyjścia

Na wejściu program przyjmuje ścieżkę do pliku o formacie zdefiniowanym w podsekcji 5.1. Plik wejściowy programu musi być rozszerzeniem `.txt`. Wyjściem programu jest plik o nazwie takiej samej, jak plik wejściowy z dopiskiem `-out.txt`, format pliku wyjściowego został zdefiniowany w podsekcji 5.2.

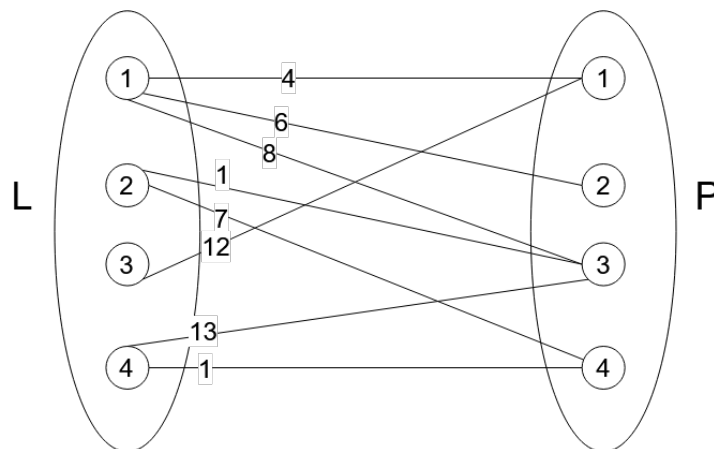
### 5.1 Format pliku wejściowego

W pierwszej linijce pliku wejściowego będzie się znajdować liczba wierzchołków w każdym rozłącznym zbiorze wierzchołków, zbiory oznaczmy jako **P**, **L**.

Kolejne linijki w pliku będą oznaczały połączenia w grafie w następujący sposób:

- Numer linijki odpowiada numerowi wierzchołka ze zbioru **L**.
- Liczba *i*-ta w linijce *j*-tej oznaczają wagę krawędzi między wierzchołkiem  $v_j$  ze zbioru **L** a wierzchołkiem  $v_i$  ze zbioru **P**.
- Litera "n" na miejscu *i*-tym w linijce *j*-tej oznacza, że nie istnieje krawędź między wierzchołkiem  $v_j$  ze zbioru **L** a wierzchołkiem  $v_i$  ze zbioru **P**.

Graf postaci:



Rysunek 1: Przykładowy graf

W pliku wejściowym zapisany będzie w następujący sposób:

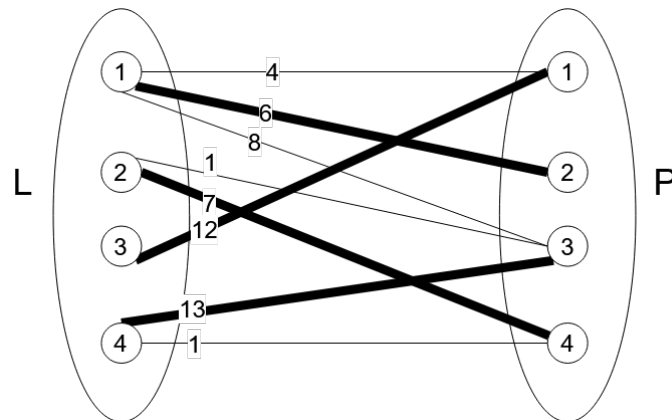
4			
4	6	8	n
n	n	1	7
12	n	n	n
n	n	13	1

Tabela 1: Przykładowy format pliku wejściowego

## 5.2 Format pliku wyjściowego

Format pliku wyjściowego jest identyczny z formatem pliku wejściowego, z tą różnicą, że literą "n" oznaczamy brak krawędzi oraz krawędzie które nie należą do skojarzenia doskonałego. Dodatkowo w drugiej linijce pliku znajdować się będzie waga znalezionej skojarzenia.

Dla znalezionej skojarzenia doskonałego oznaczonego pogrubionymi liniami:



Rysunek 2: Skojarzenie doskonałe o minimalnej wadze

format pliku wyjściowego jest następujący:

4			
38			
n	6	n	n
n	n	n	7
12	n	n	n
n	n	13	n

Tabela 2: Przykładowy format pliku wyjściowego

Gdy graf nie posiada skojarzenia doskonałego plik zwraca aktualne największe skojarzenie, wagę oraz komunikat "nie znaleziono doskonałego":

```

nie znaleziono doskonałego
4
38
n   6   n   n
n   n   n   7
n   n   n   n
n   n   n   n

```

Tabela 3: Przykładowy format pliku wyjściowego

## Bibliografia

- [1] Katarzyna Rybarczyk-Krzywdzińska. *Algorytmy Grafowe Rozdział 8. Skojarzenia w grafach dwudzielnych*. <http://kryba.home.amu.edu.pl/2020latoAGR/wyklady/>. Materiały z wykładu; Data dostępu 09-04-2024. Maj 2020.